



Методы синтеза логических схем модульного контроля в унитарных непозиционных двоичных кодах

*(Балтийский государственный технический университет «Военмех»
им. Д.Ф. Устинова, Санкт-Петербург)*

Рассмотрены методы синтеза логических схем модульного контроля в унитарном параллельном непозиционном двоичном коде. Получены оценки сложности и быстродействия схем, синтезируемых различными методами.

1. Введение

Устройства модульного контроля параллельных двоичных кодов находят достаточно широкое применение [1-5] в современных цифровых системах управления, передачи и переработки дискретной информации, и, прежде всего, в системах специального назначения, к надежности, достоверности функционирования и контролепригодности которых предъявляются высокие требования. Они применяются в качестве средств аппаратного контроля в системах, использующих контроль по модулю [1,3], арифметические [4,5] и ряд других кодов, в устройствах, работающих в системе остаточных классов [2], в аппаратуре

кодирования и декодирования помехозащищенных кодов в системах передачи информации.

Известны устройства модульного контроля, работающие в унитарных позиционных двоичных кодах [3]. В работе [6] исследованы методы их синтеза, получены оценки сложности и быстродействия схем, синтезируемых различными методами. Достоинством таких устройств является высокое быстродействие, а основным недостатком - большая сложность, что ограничивает возможности их использования, в особенности при значениях модуля $K > 5$. В статье разрабатываются и исследуются методы синтеза логических схем модульного контроля, функционирующих в унитарных параллельных непозиционных двоичных кодах, получаются оценки сложности и быстродействия синтезируемых схем, позволяющие оценить целесообразность использования таких устройств при проектировании цифровых систем.

2. Основные понятия и определения

В современных цифровых системах используется как числовой, так и кодовый модульный контроль. В случае числового модульного контроля синтезируемая схема должна формировать остаток параллельного двоичного кода по модулю K с учетом весов его разрядов. При кодовом модульном контроле схема формирует остаток по модулю K числа единичных разрядов контролируемого кода, при этом веса всех его разрядов считаются единичными.

Определение 1. Унитарным параллельным непозиционным кодом остатка по модулю K количества единиц двоичного кода $X = \{x_1, x_2, x_3, \dots, x_n\}$ будем называть код $G = \{g_n^1 g_n^2 \dots g_n^{K-1}\}$, удовлетворяющий условию:

$$(1) \quad g_n^a(X) = \begin{cases} 1 & \text{при } \left(\sum_{i=1}^n x_i \right) \bmod K \geq a, \\ 0 & \text{при } \left(\sum_{i=1}^n x_i \right) \bmod K < a. \end{cases}$$

Определение 2. Унитарным параллельным непозиционным кодом остатка по модулю K двоичного кода $X = \{x_1, x_2, x_3, \dots, x_n\}$ будем называть код $U = \{u_n^1 u_n^2 \dots u_n^{K-1}\}$, удовлетворяющий условию:

$$(2) \quad u_n^a(X) = \begin{cases} 1 & \text{при } \left(\sum_{i=1}^n w_i x_i \right) \bmod K \geq a, \\ 0 & \text{при } \left(\sum_{i=1}^n w_i x_i \right) \bmod K < a. \end{cases}$$

Унитарный параллельный непозиционный код $G(X)$ может быть представлен композицией пороговых равновесных функций [7, 8] вида:

$$(3) \quad g_n^a(X) = \bigvee_{j=0}^l F_n^{a+jK}(X) \overline{F_n^{(j+1)K}(X)}, \quad a=1,2,3,\dots,K-1,$$

где $l = \lceil (n-a+1)/K \rceil - 1$, $\lceil \cdot \rceil$ - округление в большую сторону до ближайшего целого.

Унитарный параллельный непозиционный код $U(X)$ может быть представлен композицией пороговых неравновесных функций с весами входных переменных, равными весам разрядов входного кода, вида:

$$(4) \quad u_n^a(X) = \bigvee_{j=0}^{l'} F_n^{a+jK}(X) \overline{F_n^{(j+1)K}(X)}, \quad a=1,2,3,\dots,K-1,$$

где $l' = \lceil \sum_{i=1}^n (w_i - a + 1) / K \rceil - 1$, а w_i - вес i -го разряда входного кода X .

Представления (3) и (4) следуют из приведенных выше определений кодов $G(X)$ и $U(X)$, а также свойств пороговых функций [7, 9, 10].

3. Методы синтеза логических схем подсчета количества единиц двоичного кода по модулю K в унитарном параллельном непозиционном коде

Функции $g_n^a(X)$ унитарного параллельного непозиционного кода $G(X)$ обладают свойствами, аналогичными свойствам пороговых равновесных функций [11, 12], в том числе следующим свойством

$$(5) \quad g_n^a(X) g_n^b(X) = g_n^a(X) \quad \text{при } a > b.$$

Это позволяет адаптировать разработанные для синтеза пороговых схем методы декомпозиции [11] и факторизации [12, 13] при проектировании схем модульного контроля.

3.1. Декомпозиционный метод

Функции $g_n^a(X)$ могут быть представлены в виде следующей композиции функций разложения

(6)

$$g_n^a(X) = \bigvee_{j=0}^l \left(\left\{ \bigvee_{\{A_j\}} g_{m_1}^{a_1}(X_1) g_{m_2}^{a_2}(X_2) \dots g_{m_r}^{a_r}(X_r) \right\} \& \overline{\left\{ \bigvee_{\{B_j\}} g_{m_1}^{b_1}(X_1) g_{m_2}^{b_2}(X_2) \dots g_{m_r}^{b_r}(X_r) \right\}} \right) = \bigvee_{j=0}^l \Phi_n^{a+jK}(X) \& \overline{\Phi_n^{(j+1)K}(X)},$$

где $l = \left\lceil \sum_{i=1}^r (h_i - a + 1) / K \right\rceil - 1$, а $h_i = \min(K - 1, m_i)$;

r - параметр разложения;

$g_{m_i}^{a_i}(X_i)$, $g_{m_i}^{b_i}(X_i)$ - функции разложения;

$\{A_r^j\}, \{B_r^j\}$ - множества всех r -мерных векторов, элементы которых удовлетворяют условиям:

$$(7) \quad \sum_{i=1}^r a_i = a + jK,$$

$$(8) \quad \sum_{i=1}^r b_i = (j+1)K.$$

$A_r = \{a_1, \dots, a_r\}$ - r - мерный вектор;

a_i - элемент r -мерного вектора A_r , являющийся индексом функции $g_{m_i}^{a_i}(X_i)$;

$B_r = \{b_1, \dots, b_r\}$ - r - мерный вектор;

b_i - элемент r -мерного вектора B_r , являющийся индексом функции $g_{m_i}^{b_i}(X_i)$;

X_i - множества переменных функций разложения $g_{m_i}^{a_i}(X_i)$ и $g_{m_i}^{b_i}(X_i)$, удовлетворяющие условиям:

$$(9) \quad X_1 \cup X_2 \cup \dots \cup X_r = X,$$

$$(10) \quad X_i \cap X_j = \emptyset \quad \text{при } i \neq j.$$

Справедливость разложения (6) вытекает из следующего. В [9] доказано, что любая пороговая равновесная функция алгебры логики может быть представлена композицией функций разложения, зависящих от меньшего числа переменных, вида

$$(11) \quad F_n^a(X) = \bigvee_{\{A_r\}} F_{m_1}^{a_1}(X_1) F_{m_2}^{a_2}(X_2) \dots F_{m_r}^{a_r}(X_r),$$

где $\{A_r\}$ - множество всех r -мерных векторов, удовлетворяющих условию

$$(12) \quad \sum_{i=1}^r a_i = a \quad (a_i \geq 0).$$

С учетом (11) справедливость разложения (6) при $\sigma(X_i) < K$, следует из определения (1) унитарного параллельного непозиционного кода остатка и представления (3), так как в этом случае $g_{m_i}^{a_i}(X_i) = F_{m_i}^{a_i}(X_i)$. При $\sigma(X_i) > K$ разложение (6) также остается справедливым, поскольку свойства системы функций $g_m^a(X_i)$ полностью аналогичны свойствам системы функций $F_m^a(X_i)$. При этом логическая схема, работа которой описывается системой уравнений вида (6) при $a=1,2,\dots,K-1$, представляет собой два последовательно соединенных блока, первый из которых выполняет операцию суммирования r унитарных параллельных непозиционных кодов, а второй-свертку кода суммы по модулю K . Возможно эквивалентное (6) представление вида:

$$(13) \quad g_n^a(X) = \bigoplus_{j=0}^l (\Phi_n^{a+jK}(X) \oplus \overline{\Phi_n^{(j+1)K}(X)}).$$

Из изложенного следует, что схема формирования остатка количества единиц двоичного кода X по модулю K может быть синтезирована [14] в порядке, описанном в [12] для случая пороговых равновесных функций, т.е. путем последовательной совместной декомпозиции системы функций $G(X)$, описывающей работу схемы, на основе обобщенного разложения (6) или (13). Декомпозиция осуществляется до получения $\sigma(X_t) < K$, при этом синтезируемый блок представляет собой фундаментальный многопороговый элемент [11], реализующий систему из $\sigma(X_t)$ пороговых равновесных функций с порогами от $a_{min}=1$ до $a_{max}=\sigma(X_t)$.

Очевидно, что глубина и сложность синтезируемых схем зависят от выбора параметров разложения r и мощности подмножеств переменных X_i на каждом шаге декомпозиции, т.е. от порядка декомпозиции, а вывод о минимальной сложности схем, синтезируемых методом декомпозиции с параметром $r=2$, сделанный в [11] для случая пороговых равновесных и элементарных симметричных функций, справедлив и в данном случае.

Возможны следующие типы декомпозиции. Будем называть декомпозицию детерминированной, если на всех шагах $r=const$, в противном случае будем называть ее вероятностной. Будем называть декомпозицию регулярной, если на каждом шаге множества переменных систем функций разложения удовлетворяют условию $|\mathbf{s}(X_i) - \mathbf{s}(X_j)| \leq 1$, в противном случае будем называть ее нерегулярной.

Все возможные варианты разложения по переменным функций $g_n^a(X)$ являются частными случаями представления (6), получаемыми при определенных значениях параметра разложения r и мощности множеств переменных X_i . Так при $r \geq 2$ и $\mathbf{s}(X_i) = \mathbf{s}(X_2) = \dots = \mathbf{s}(X_{r-1}) = 1$ из (6) получаем все виды разложения по переменным, в том числе при $r = 2$ - тривиальное разложение.

Выбор вида и порядка декомпозиции позволяет формировать требуемую структуру схемы, регулировать ее сложность и быстродействие. Оценим сложность синтезируемых схем.

Утверждение 1. Логическая схема формирования остатка количества единиц двоичного кода по модулю K в унитарном параллельном непозиционном коде, синтезированная методом разложения по переменным содержит

$$(14) \quad L(G(n)) = \begin{cases} n^2 - n, & \text{при } n < K, \\ (K-1)^2 - (K-1) + (n-K+1)(3K-2), & \text{при } n \geq K, \end{cases}$$

элементов И, ИЛИ, НЕ.

Доказательство. При $n < K$ $L(G(n))$ представляет собой фундаментальный многопороговый элемент, сложность которого определяется доказанной в [11] оценкой вида $L(F(n))=n^2-n$, а при n

$\geq K$ $L(G(n))=L(F(K-1))+(n-K+1)l_1=(K-1)^2-(K-1)+(n-K+1)(3K-2)$, где l_1 - количество логических элементов, необходимых для реализации уравнения (6) при сформированных функциях разложения. Что и требовалось доказать.

Утверждение 2. Логическая схема формирования остатка количества единиц двоичного кода по модулю K в унитарном параллельном непозиционной коде, синтезированная методом детерминированной декомпозиции с параметром $r=2$, содержит

$$(15) \quad L(G(n)) = \begin{cases} n^2 - n & \text{при } n < K, \\ n^2 & \text{при } K \leq n \leq 2K - 2, \\ L(G(m_1)) + L(G(m_2)) + 2(K^2 - K) & \text{при } n > 2K - 2, \end{cases}$$

элементов И, ИЛИ, НЕ, где $m_1, m_2 \geq K-1$.

Доказательство. При $n < K$ $L(G(n))$ представляет собой фундаментальный многопороговый элемент, сложность которого определяется доказанной в [11] оценкой вида $L(F(n))=n^2-n$. При $K \leq n \leq 2K-2$ $L(G(n))=L(F(n))+l_2=n^2-n+n$, где $l_2=(n-K)+(K-1)+1=n$ - количество логических элементов, необходимых для реализации уравнения (6) при сформированных функциях разложения. При $n > 2K-2$ $L(G(n))=L(G(m_1))+L(G(m_2))+l_3+l_4$, где $l_3=L(F(2K-2))-2L(F(K-1))=2K^2-4K+2$ - количество элементов, необходимых для формирования всех конъюнкций функций разложения в (6), а $l_4=2K-2$ - количество элементов, необходимых для реализации уравнения (6) при сформированных конъюнкциях функций разложения. Что и требовалось доказать.

Соответствующие оценкам (14) и (15) графики 1 и 2 представлены на рис. 1 для $K=3,5,7$ соответственно. На рис. 2 показан пример схемной реализации устройства контроля количества единиц параллельного двоичного кода по модулю $K=5$, синтезированного методом регулярной детерминированной декомпозиции с параметром $r=2$.

3.2. Факторизационные методы синтеза

Рассматриваемые функции $g_n^a(X)$ обладают свойством (5), аналогичным свойству пороговых равновесных функций. Это позволяет адаптировать разработанные в [12, 13] методы первичной и вторичной факторизации, а также предложенные в [15] однородные и регулярные структуры, для синтеза схем

формирования остатка количества единиц двоичного кода по модулю K .

3.2.1. Первичная факторизация

Уменьшение сложности синтезируемой схемы путем факторизации системы уравнений вида (6) или (13), полученных в результате декомпозиции, существующими методами [16,17] невозможно из-за отсутствия общих факторов. Однако, с учетом свойства (5) функций $g_n^a(X)$ общие факторы могут быть сформированы искусственно.

Для этого в представлении функций $\Phi_n^a(X)$ из (6) или (13) выделим группу однотипных конъюнкций, для которых все векторы A'_r получаются перестановкой элементов множества $\{a_1, \dots, a_r, b_1, \dots, b_l\}$, где $r+l \leq r$, $a = const$, $a < b$, $b_{j+1} \geq b_j$.

представлена в виде

$$\begin{aligned}
 \{A'_r\} g_{m_k}^a(X_1) \dots g_{m_r}^a(X_r) &= \{g_{m_k}^a(X_1) \dots g_{m_r}^a(X_r) g_{m_{r+1}}^{b_1}(X_{r+1}) \dots g_{m_{r+l}}^{b_l}(X_{r+l}) \vee \\
 &\dots \vee g_{m_k}^a(X_1) \dots g_{m_r}^a(X_r) g_{m_{r+1}}^{b_l}(X_{r+1}) \dots g_{m_{r+l}}^{b_1}(X_{r+l}) \vee \dots \vee g_{m_{r-r+l+1}}^{b_l}(X_{r-r+l+1}) \dots \\
 (16) \dots g_{m_{r-r}}^{b_1}(X_{r-r}) g_{m_{r-r+1}}^a(X_{r-r+1}) \dots g_{m_r}^a(X_r)\} &= \{g_{m_k}^a(X_1) g_{m_e}^a(X_2) \dots g_{m_{r+l}}^a(X_{r+l}) \vee \dots \\
 \vee g_{m_{r-r+l+1}}^a(X_{r-r+l+1}) \dots g_{m_{r-1}}^a(X_{r-1}) g_{m_r}^a(X_r)\} &\& \{g_{m_{r+1}}^{b_1}(X_{r+1}) g_{m_{r+2}}^{b_2}(X_{r+2}) \dots \\
 \dots g_{m_{r+l}}^{b_l}(X_{r+l}) \vee \dots \vee g_{m_{r+1}}^{b_1}(X_{r+1}) \dots g_{m_{r+l+1}}^{b_2}(X_{r+l+1}) g_{m_{r+l}}^{b_1}(X_{r+l}) \vee \dots \\
 \dots \vee g_{m_{r-r+l+1}}^{b_l}(X_{r-r+l+1}) \dots g_{m_{r-1}}^{b_2}(X_{r-1}) g_{m_{r-r}}^{b_1}(X_{r-r})\}
 \end{aligned}$$

Очевидно, что использование преобразования (16) обеспечивает уменьшение сложности реализации функций $\Phi_n^a(X)$ и, следовательно, функций $g_n^a(X)$, поскольку разность числа логических операций И,ИЛИ в его левой и правой частях составляет

$$\Delta = C_r^l(r-l) - r,$$

где l - число функций разложения с порогом b в каждой конъюнкции.

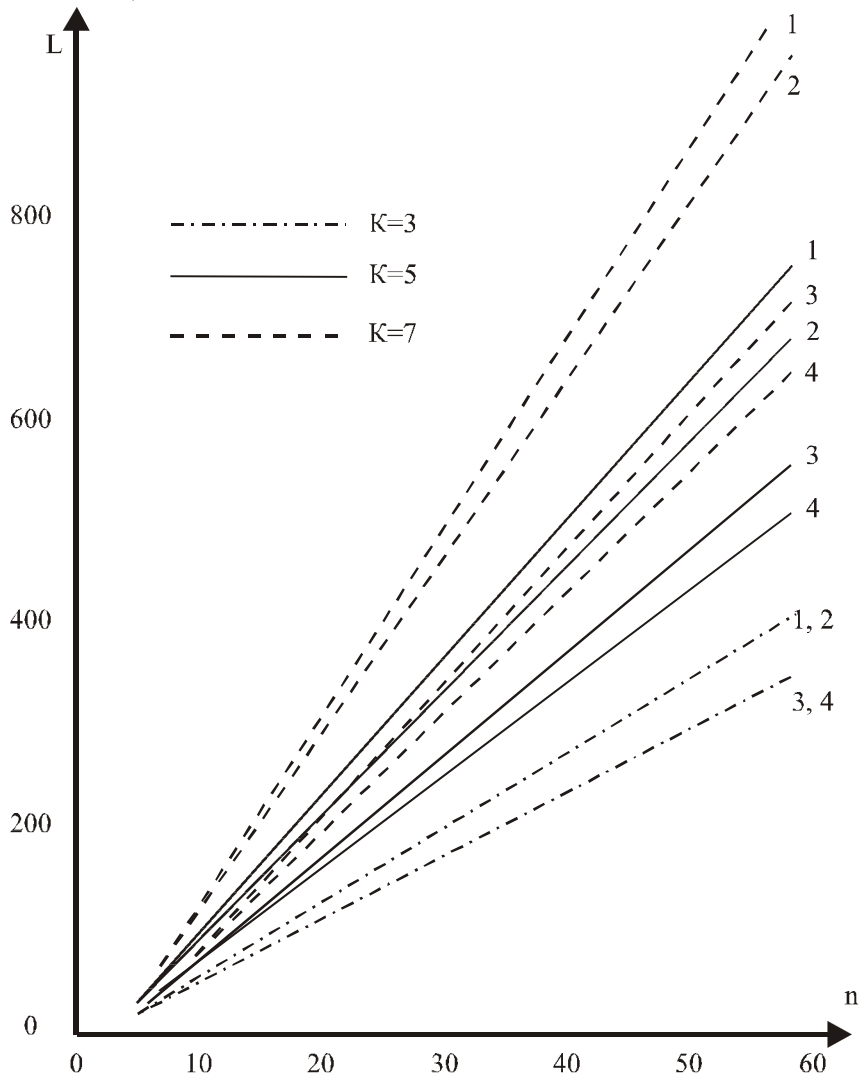


Рис. 1. Зависимость сложности схем подсчета количества единиц параллельного двоичного кода по модулю K от его разрядности n

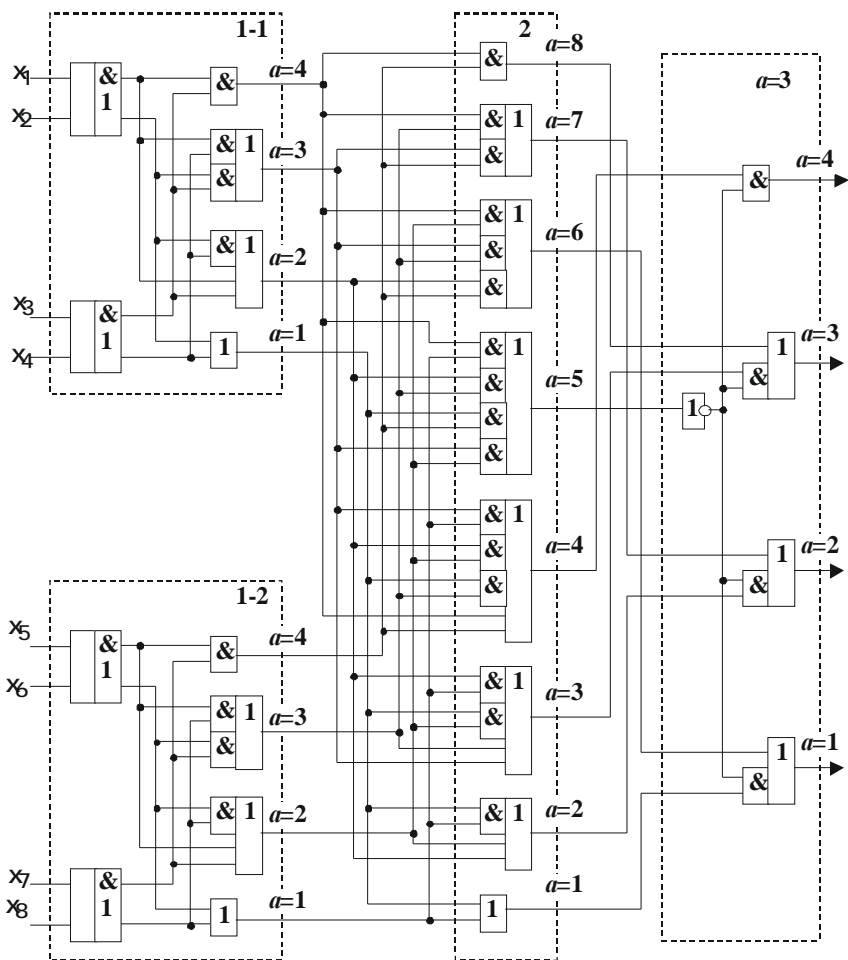


Рис. 2. Устройство подсчета количества единиц 8-разрядного двоичного кода по модулю $K=5$ в унитарном параллельном непозиционном коде, синтезированное методом регулярной детерминированной декомпозиции ($r=2$)

Данная группа конъюнкций с учетом (5) может быть $(t-1)$ -кратное выполнение преобразования (16), где t - количество различных значений индексов a_j векторов A'_r , приводит к представлению

$$(17) \bigvee_{\{A'_r\}} g_{m_1}^{a_1}(X_1) g_{m_2}^{a_2}(X_2) g_{m_r}^{a_r}(X_r) = \bigwedge_{j=1}^t F_r^{p_j} \left(g_{m_1}^{a_j}(X_1), g_{m_2}^{a_j}(X_2), \dots, g_{m_r}^{a_j}(X_r) \right)$$

где $\sum_{j=1}^l \tilde{p}_j a_j = \sum_{i=1}^r a_i = a$, $\tilde{p}_j = p_j - p_{j+1}$, $p_{l+1} = 0$,

а $F_r^{p_j}(Y)$ - пороговая равновесная функция r переменных с порогом p_j .

Представления (17) имеют для различных $\Phi_n^a(X)$ общие факторы вида $F_r^{p_j}(Y)$, а при $r > 2$ обеспечивают уменьшение сложности реализации отдельной функции $\Phi_n^a(X)$.

При $r=2$ преобразование (17) имеет вид

$$(18) g_{m_1}^a(X_1)g_{m_2}^b(X_2) \vee g_{m_1}^b(X_1)g_{m_2}^a(X_2) = g_{m_1}^a(X_1)g_{m_2}^a(X_2) \{g_{m_1}^b(X_1) \vee g_{m_2}^b(X_2)\}.$$

При $r=3$ получаем преобразования следующих четырех видов:

$$(19) g_{m_1}^a(X_1)g_{m_2}^a(X_2)g_{m_3}^b(X_3) \vee g_{m_1}^a(X_1)g_{m_2}^b(X_2)g_{m_3}^a(X_3) \vee g_{m_1}^b(X_1)g_{m_2}^a(X_2)g_{m_3}^a(X_3) = g_{m_1}^a(X_1)g_{m_2}^a(X_2)g_{m_3}^a(X_3) \{g_{m_1}^b(X_1) \vee g_{m_2}^b(X_2) \vee g_{m_3}^b(X_3)\}$$

$$(20) g_{m_1}^a(X_1)g_{m_2}^b(X_2)g_{m_3}^b(X_3) \vee g_{m_1}^b(X_1)g_{m_2}^a(X_2)g_{m_3}^b(X_3) \vee g_{m_1}^b(X_1)g_{m_2}^b(X_2)g_{m_3}^a(X_3) = g_{m_1}^a(X_1)g_{m_2}^a(X_2)g_{m_3}^a(X_3) \{g_{m_1}^b(X_1)g_{m_2}^b(X_2) \vee g_{m_1}^b(X_1)g_{m_3}^b(X_3) \vee g_{m_2}^b(X_2)g_{m_3}^b(X_3)\}$$

$$g_{m_1}^a(X_1)g_{m_2}^b(X_2) \vee g_{m_1}^b(X_1)g_{m_3}^b(X_3) \vee g_{m_2}^a(X_2)g_{m_3}^b(X_3) \vee g_{m_1}^b(X_1)g_{m_2}^a(X_2) = g_{m_1}^a(X_1)g_{m_2}^a(X_2) \vee g_{m_1}^b(X_1)g_{m_3}^a(X_3) \vee g_{m_2}^a(X_2)g_{m_3}^a(X_3) \{g_{m_1}^b(X_1) \vee g_{m_2}^b(X_2) \vee g_{m_3}^b(X_3)\}$$

$$(21) \vee g_{m_1}^b(X_1)g_{m_3}^a(X_3) \vee g_{m_2}^b(X_2)g_{m_3}^a(X_3) = \{g_{m_1}^a(X_1)g_{m_2}^a(X_2) \vee g_{m_1}^a(X_1)g_{m_3}^a(X_3) \vee g_{m_2}^a(X_2)g_{m_3}^a(X_3)\} \{g_{m_1}^b(X_1) \vee g_{m_2}^b(X_2) \vee g_{m_3}^b(X_3)\}$$

$$g_{m_1}^a(X_1)g_{m_2}^b(X_2)g_{m_3}^g(X_3) \vee g_{m_1}^a(X_1)g_{m_2}^g(X_2)g_{m_3}^b(X_3) \vee g_{m_1}^b(X_1)g_{m_2}^a(X_2)g_{m_3}^g(X_3) \vee g_{m_1}^g(X_1)g_{m_2}^a(X_2)g_{m_3}^b(X_3) = g_{m_1}^a(X_1)g_{m_2}^a(X_2)g_{m_3}^a(X_3) \vee g_{m_1}^b(X_1)g_{m_2}^b(X_2)g_{m_3}^b(X_3) \{g_{m_1}^g(X_1) \vee g_{m_2}^g(X_2) \vee g_{m_3}^g(X_3)\}$$

$$(22) g_{m_1}^g(X_1)g_{m_2}^a(X_2)g_{m_3}^b(X_3) \vee g_{m_1}^g(X_1)g_{m_2}^b(X_2)g_{m_3}^a(X_3) \vee g_{m_1}^g(X_1)g_{m_2}^b(X_2)g_{m_3}^a(X_3) = g_{m_1}^g(X_1)g_{m_2}^a(X_2)g_{m_3}^a(X_3) \vee g_{m_1}^g(X_1)g_{m_2}^b(X_2)g_{m_3}^b(X_3) \{g_{m_1}^a(X_1) \vee g_{m_2}^a(X_2) \vee g_{m_3}^a(X_3)\}$$

$$g_{m_1}^a(X_1)g_{m_2}^a(X_2)g_{m_3}^a(X_3) \{g_{m_1}^b(X_1)g_{m_2}^b(X_2) \vee g_{m_1}^b(X_1)g_{m_3}^b(X_3) \vee g_{m_2}^b(X_2)g_{m_3}^b(X_3)\}$$

$$\{g_{m_1}^g(X_1) \vee g_{m_2}^g(X_2) \vee g_{m_3}^g(X_3)\} \quad (a < b < g).$$

Аналогичные представления могут быть получены для любого r .

С учетом (17) функции $\Phi_n^a(X)$ из (6) и (13) могут быть представлены в виде

$$(23) \quad \Phi_n^a(X) = \bigvee_{\{A_r^j\}} g_{m_1}^{a_1}(X_1) g_{m_2}^{a_2}(X_2) \dots g_{m_r}^{a_r}(X_r) = \\ \bigvee_{\{A_r^j\}} \& F_r^{p_j} \left(g_{m_1}^{a_1}(X_1), g_{m_2}^{a_2}(X_2), \dots, g_{m_r}^{a_r}(X_r) \right)$$

где $\sum_{j=1}^t \tilde{p}_j a_j = \sum_{i=1}^r a_i = a$, $\tilde{p}_j = p_j - p_{j+1}$, $p_{t+1} = 0$, $p_{j+1} < p_j$, $a_{j+1} > a_j$,

$F_r^{p_j}(Y)$ - пороговая равновесная функция r переменных с порогом

p_j ;

$\{A_r^j\}$ - множества типов r -мерных векторов $A_r^j = \{a_1, \dots, a_r\}$, элементы которых удовлетворяют условию (7);

$A_r^j = \{a_1, \dots, a_r\}$ - r - мерный вектор;

a_i - элемент r -мерного вектора A_r^j , являющийся индексом функции $g_{m_i}^{a_i}(X_i)$;

t - число ненулевых элементов вектора A_r^j ($t \leq r$).

Множество $\{A_r^j\}$ может быть получено из $\{A_r^{j'}\}$ путем замены каждого из векторов $A_r^j \in \{A_r^{j'}\}$ множеством векторов, получаемых из него перестановкой элементов, т.е. $\{A_r^j\} \subset \{A_r^{j'}\}$.

При $r = 2$ из (23) получаем следующее представление функции $\Phi_n^a(X)$:

$$(24) \quad \Phi_n^a(X) = \bigvee_{\{A_2\}} g_{m_1}^a(X_1) g_{m_2}^a(X_2) \left\{ g_{m_1}^{a-a}(X_1) \bigvee g_{m_2}^{a-a}(X_2) \right\} = \\ = \bigvee_{\{i\}} F_2^2 \left(g_{m_1}^i(X_1), g_{m_2}^i(X_2) \right) F_2^1 \left(g_{m_1}^{a-i}(X_1), g_{m_2}^{a-i}(X_2) \right) \bigvee f_{\Delta},$$

где: $\{A_2\}$ - множество типов двумерных векторов A_2 ;

$i \in \{1, 2, \dots, \mu\}$;

$\mu = \min\{ \lfloor a/2 \rfloor - 1, K-1, \lfloor n/2 \rfloor - 1 \}$;

$$(25) f_{\Delta} = \begin{cases} F_2^2(g_{m_1}^{a/2}(X_1), g_{m_2}^{a/2}(X_2)) \vee F_2^1(g_{m_1}^a(X_1), g_{m_2}^a(X_2)) & \text{при } a \leq m_1, m_2 \text{ и } a = 2]a/2[, \\ F_2^2(g_{m_1}^{a/2}(X_1), g_{m_2}^{a/2}(X_2)) & \text{при } a > m_1, m_2 \text{ и } a = 2]a/2[, \\ F_2^1(g_{m_1}^a(X_1), g_{m_2}^a(X_2)) & \text{при } a \leq m_1, m_2 \text{ и } a \neq 2]a/2[, \\ 0 & \text{при } a > m_1, m_2 \text{ и } a \neq 2]a/2[. \end{cases}$$

При $m=0$ в представлении (24) $\Phi_n^a(X) = f_{\Delta}$.

Наибольшее уменьшение сложности схем достигается при факторизации логических уравнений, полученных в результате регулярной декомпозиции. В частном случае разложения по переменным факторизация, обеспечивающая уменьшение сложности схем, невозможна.

Использование первичной факторизации уравнений (6) приводит к получению системы логических уравнений вида:

$$(26) g_n^a(X) = \bigvee_{j=0}^l \left\{ \left\{ \bigvee_{\{A_i^j\}} \left(\bigwedge_{r=1}^t F_r^{p_r} \left(g_{m_{h_1}}^{a_r}(X_1) g_{m_2}^{a_r}(X_2) \mathbf{K} g_{m_r}^{a_r}(X_1) \right) \right) \right\} \& \right. \\ \left. \overline{\left\{ \bigvee_{\{B_i^j\}} \left(\bigwedge_{r=1}^t F_r^{p_r} \left(g_{m_{h_1}}^{b_r}(X_1) g_{m_2}^{b_r}(X_2) \mathbf{K} g_{m_r}^{b_r}(X_1) \right) \right) \right\}} \right\} \\ = \bigvee_{j=0}^l \Phi_n^{a+jK}(X) \overline{\Phi_n^{(j+1)K}(X)}$$

или эквивалентной ей системы уравнений вида (13),

где $t \leq r$, $p_{j+1} < p_j$, $a_p \geq 0$, $a_{p+1} > a_p$, $b_p \geq 0$, $b_{p+1} > b_p$,

$$\sum_{r=1}^t \tilde{p}_r a_r = \sum_{i=1}^r a_i = a + jK;$$

$$\sum_{r=1}^t \tilde{p}_r b_r = \sum_{i=1}^r b_i = (1+j)K; \quad \tilde{p}_r = p_r - p_{r+1}, \quad p_{t+1} = 0,$$

$\{A_r^j\}, \{B_r^j\}$ множества типов r -мерных векторов, удовлетворяющих условиям (7) и (8) соответственно.

При $r=2$ уравнение (26) имеет вид:

$$g_n^a(X) = \left(\bigvee_{\{A_r^j\}} \left\{ g_{m_{h_1}}^a(X_1) g_{m_2}^a(X_2) \right\} \bigwedge_{\{B_r^j\}} \left\{ g_{m_{h_1}}^{a-a}(X_1) \vee g_{m_2}^{a-a}(X_2) \right\} \right) \&$$

$$\begin{aligned}
(27) \quad & \left(\overline{\left\{ \bigvee_{\{B_i^0\}} \left\{ g_{m_1}^b(X_1) g_{m_2}^b(X_2) \right\} \right\} g_{m_1}^{K-b}(X_1) \vee g_{m_2}^{K-b}(X_2) \right) \vee} \\
& \left(\overline{\left\{ \bigvee_{\{A_r^1\}} \left\{ g_{m_1}^a(X_1) g_{m_2}^a(X_2) \right\} \right\} g_{m_1}^{a+K-a}(X_1) \vee g_{m_2}^{a+K-a}(X_2) \right) \vee} = \\
& = \left(\overline{\left\{ \bigvee_{\{i_a\}} F_2^2 \left\{ g_{m_1}^i(X_1) g_{m_2}^i(X_2) \right\} F_2^1 \left\{ g_{m_1}^{a-i}(X_1) g_{m_2}^{a-i}(X_2) \right\} \right\} \&} \right. \\
& \left. \overline{\left\{ \bigvee_{\{i_K\}} F_2^2 \left\{ g_{m_1}^i(X_1) g_{m_2}^i(X_2) \right\} F_2^1 \left\{ g_{m_1}^{K-i}(X_1) g_{m_2}^{K-i}(X_2) \right\} \right\} \vee} \right. \\
& \left. \left\{ \bigvee_{\{i_{a+K}\}} F_2^2 \left\{ g_{m_1}^i(X_1) g_{m_2}^i(X_2) \right\} F_2^1 \left\{ g_{m_1}^{a+K-i}(X_1) g_{m_2}^{a+K-i}(X_2) \right\} \right\} \right) = \\
& \Phi_n^a(X) \& \overline{\Phi_n^K(X)} \vee \Phi_n^{a+K}(X),
\end{aligned}$$

где:

$$\{i\}_{a \in} \{0, 1, 2, \mathbf{K}, \min([n/2], [a/2])\};$$

$$\{i\}_{K \in} \{1, 2, \mathbf{K}, \min([n/2], [K/2])\};$$

$$\{i\}_{a+K \in} \{a+1, \mathbf{K}, \min([(a+K)/2], [n/2])\}.$$

Схема устройства подсчета единиц параллельного двоичного 24-х разрядного кода по модулю $K=5$, синтезированная методом первичной факторизации ($r=3$), представлена на рис. 3.

Оценим сложность схем, синтезируемых рассмотренным методом первичной факторизации.

Утверждение 4. Логическая схема формирования остатка количества единиц двоичного кода по модулю K в унитарном параллельном непозиционном коде, синтезированная методом факторизации ($r=2$) содержит

$$(28) \quad L(G(n)) = \begin{cases} L(F(n)) & \text{при } n < K, \\ L(F(n)) + n & \text{при } K \leq n \leq 2K - 2, \\ L(G(m_1)) + L(G(m_2)) + L(F(2K - 2)) - 2L(F(K - 1)) + 2K - 2 & \text{при } m_1, m_2 > K - 1 \end{cases}$$

элементов И, ИЛИ, НЕ, где $L(F(n))$ - сложность реализации фундаментального многопорогового элемента $F(n)$, определенная

для данного метода факторизации (соответствующие оценки приведены в [12,13]).

Доказательство. Случай $n < K$ очевиден, поскольку синтезируемая схема представляет собой фундаментальный многопороговый логический элемент. При $K \leq n \leq 2K-2$ сложность синтезируемой схемы составляет $L(G(n))=L(F(n))+l_1$, где $l_1=n$ - количество элементов, необходимых для реализации системы уравнений (27) при сформированных функциях $\Phi_n^a(X)$. При $n > 2K-2$ сложность синтезируемой схемы составляет $L(G(n))=L(G(m_1))+L(G(m_2))+l_1+l_2$, где $l_1=L(F(2K-2))-2L(F(K-1))$ - количество элементов, необходимых для реализации блока сложения унитарных двоичных непозиционных кодов, в случае синтеза используемым методом факторизации системы уравнений функций $\Phi_n^a(X)$ при сформированных функциях разложения $g_{m_i}^{a_i}(X_i)$, а $l_2=2K-2$ - количество элементов, необходимых для реализации системы уравнений (27) при сформированных функциях $\Phi_n^a(X)$.

Следствие 1. Логическая схема формирования остатка количества единиц двоичного кода по модулю K в унитарном параллельном непозиционном коде, синтезированная методом первичной факторизации ($r=2$) содержит:

$$(29) \quad L(G(n)) = L(G(m_1)) + L(G(m_2)) + \Delta L_1$$

элементов И, ИЛИ, НЕ, где $m_1, m_2 > K-1$ или $m_1 = \lfloor n/2 \rfloor$,

$$(30) \quad \Delta L_1 = \begin{cases} \frac{n}{2} \binom{\frac{n}{2}+1}{2} & \text{при } n = 2 \lfloor n/2 \rfloor \text{ и } n < K, \\ \frac{(n+1)}{2} \left(\binom{(n+1)}{2} + 1 \right) - 2 & \text{при } n \neq 2 \lfloor n/2 \rfloor \text{ и } n < K, \\ \frac{n}{2} \binom{\frac{n}{2}+1}{2} + n & \text{при } n = 2 \lfloor n/2 \rfloor \text{ и } K \leq n \leq 2K-2, \\ \frac{(n+1)}{2} \left(\binom{(n+1)}{2} + 1 \right) + n - 2 & \text{при } n \neq 2 \lfloor n/2 \rfloor \text{ и } K \leq n \leq 2K-2, \\ K^2 + K - 2 & \text{при } n > 2K-2.. \end{cases}$$

Оценка (30) получается из (28) с учетом представления (27).

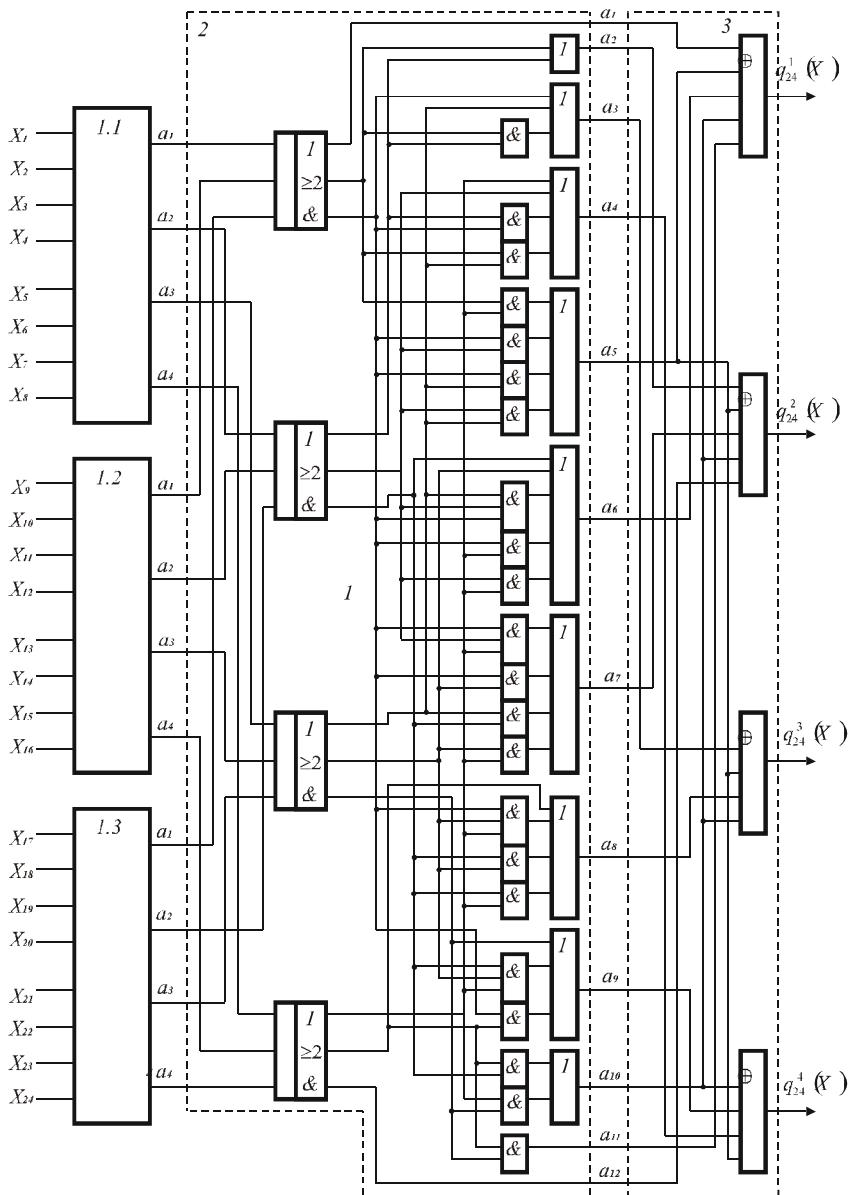


Рис. 3. Схема подсчета количества единиц 24-разрядного двоичного кода по модулю $K=5$ в унитарном непозиционном коде, синтезированная методом первичной факторизации ($r=3$)

3.2.2. Вторичная факторизация

Дальнейшее уменьшение сложности схем модульного контроля возможно [18] за счет совместной реализации систем функций $\Phi_n^a(X)$. Для этого представим функцию $\Phi_n^a(X)$ в виде

$$(31) \quad \Phi_n^a(X) = \bigvee_{i=1}^{t+1} D_i = F_t^1(D_1, D_2, \dots, D_t) \vee D_{t+1}.$$

В этом случае система функций $\Phi_n^a(X)$ при $a = \{a, a+1, \dots, a+t-1\}$ может быть реализована в виде

$$(32) \quad \left\{ \begin{array}{l} \Phi_n^a(X) = F_t^1(D_1, D_2, \dots, D_t) \vee D_{t+1} \\ \dots \\ \Phi_n^{a+i}(X) = F_t^{i+1}(D_1, D_2, \dots, D_t) \vee \Delta F_i \\ \dots \\ \Phi_n^{a+t-1}(X) = F_t^t(D_1, D_2, \dots, D_t) \vee \Delta F_{t-1} \end{array} \right.$$

где $\Delta F_i = \Phi_n^{a+i}(X) \& \bar{F}_t^{i+1}(D_1, \dots, D_t)$.

Проблема заключается в определении оптимального состава дизъюнкций D_1, \dots, D_r , обеспечивающих представление функций системы $\{\Phi_n^e(X)\}$ наименьшей сложности.

Результаты исследований показывают, что при $r=2$ для любых n и K , а при $r=3$ по крайней мере для $K < 17$, могут быть сформированы представления (31), для которых $D_{t+1} = 0$ при любых a, t . В случае $r=2$ оптимальным является представление уравнения $\Phi_n^a(X)$ системы (32) вида

$$(33) \quad \Phi_n^a(X) = \bigvee_{i=1}^t \left\{ \bigvee_{j=j_{\min}}^x g_{m_1}^{tj+i-1}(X_1) g_{m_2}^{tj+i-1}(X_2) \left(g_{m_1}^{a-tj-i+1}(X_1) \vee g_{m_1}^{a-tj-i+1}(X_1) \right) \right\},$$

где $\mathbf{X} = \left\lfloor \frac{a-2i+2}{2t} \right\rfloor$, $m = \min\{m_1, K-1\}$, $m_1 = \lfloor n/2 \rfloor$, а

$$j_{\min} = \begin{cases} \lfloor [(a-m)/t] \rfloor & \text{при } m < a, \\ 0 & \text{при } m \geq a. \end{cases}$$

При этом в (32) $D_{t+1} = 0$, а $\Delta F_i = \Delta F_i^1 \vee \Delta F_i^2$, где

$$(34) \Delta F_i^1 = \begin{cases} 0 & \text{при } a+i > m, \\ \bigvee_{j=1}^{r_1} g_{m_1}^{i-j}(X_1) g_{m_2}^{i-j}(X_2) \{g_{m_1}^{a+j}(X_1) \vee g_{m_2}^{a+j}(X_2)\} & \text{при } a+i \leq m, \end{cases}$$

$$r_1 = \min\{i, m-a\},$$

$$(35) \Delta F_i^2 = \begin{cases} 0 & \text{при } r_2 > i \text{ или } t=2 \text{ и } a=2\lfloor a/2\rfloor, \\ \bigvee_{j=r_2}^i g_{m_1}^b(X_1) g_{m_2}^b(X_2) \{g_{m_1}^{a+i-b}(X_1) \vee g_{m_2}^{a+i-b}(X_2)\} & \text{при } t > 2 \text{ или } a \neq 2\lfloor a/2\rfloor, \end{cases}$$

$$b = \left\lfloor \frac{a+j}{2} \right\rfloor, \quad r_2 = \begin{cases} 1 & \text{при } a \neq 2\lfloor a/2\rfloor, \\ 2 & \text{при } a = 2\lfloor a/2\rfloor. \end{cases}$$

Возможен другой вариант вторичной факторизации систем функций $\Phi_n^a(X)$, использующий их представление вида

$$(36) \begin{cases} \Phi_n^a(X) = F_t^1(D_1 \vee \Delta D_1, D_2 \vee \Delta D_2, \dots, D_t \vee \Delta D_t) \vee D_{t+1} \\ \dots \\ \Phi_n^{a+i}(X) = F_t^{i+1}(D_1 \vee \Delta D_1, D_2 \vee \Delta D_2, \dots, D_t \vee \Delta D_t) \\ \dots \\ \Phi_n^{a+t-1}(X) = F_t^t(D_1 \vee \Delta D_1, D_2 \vee \Delta D_2, \dots, D_t \vee \Delta D_t) \end{cases}$$

где $\Delta D_j = \bigvee_{i=1}^{t-1} \Delta d_j^i \quad (j=1, 2, \dots, t)$,

$$(37) \bigvee_{j=1}^t \Delta d_j^i = \Phi_n^{a+i}(X) \& \bar{F}_t^{i+1} \left(D_1 \vee \left(\bigvee_{e=1}^{i-1} \Delta d_1^e \right), D_2 \vee \left(\bigvee_{e=1}^{i-1} \Delta d_2^e \right), \dots, D_t \vee \left(\bigvee_{e=1}^{i-1} \Delta d_t^e \right) \right).$$

Очевидно, что

$$\left(\bigvee_{i=1}^{t-1} \Delta F_i \right) \& \left(\bigvee_{i=1}^t \Delta D_i \right) = \left(\bigvee_{i=1}^t \Delta D_i \right)$$

и реализация на основе системы уравнений (36) не сложнее, чем на основе системы уравнений (32).

Результаты исследований показывают, что при $r=2$ для любых n могут быть сформированы $D_i, \Delta D_i$ такие, что в (36) $D_{t+1} = 0$, а

$$(38) \bigvee_{i=1}^{t-1} \Delta D_i = \left\{ \bigvee_{j=1}^{t-1} \left[g_{m_1}^{a+j}(X_1) \vee g_{m_2}^{a+j}(X_2) \right] \right\} \vee \left\{ \bigvee_{j=2-(a) \bmod 2}^{t-1} g_{m_1}^b(X_1) g_{m_2}^b(X_2) \right\},$$

где $b = \lfloor (a+j)/2 \rfloor$.

Оптимальным является представление

$$(39) D_i \vee \Delta D_i = \bigvee_{j=j_{\min}}^x g_{m_1}^b(X_1) g_{m_2}^b(X_2) \left\{ g_{m_1}^{a-b}(X_1) \vee g_{m_2}^{a-b}(X_2) \right\} \vee (\Delta D_i^1 \vee \Delta D_i^2),$$

где $b = tj + i - 1$, $x = [(a - 2i + 2)/2t]$,

$$J = a + t - i + 1, \mathbf{v} = t[(a - 2i + 2)/2t] + t + i - 1,$$

$$j_{\min} = \begin{cases} [(a - m) / t] & \text{при } m < a, \\ 0 & \text{при } m \geq a, \end{cases}$$

$$(40) \Delta D_i^1 = \begin{cases} 0 & \text{при } i = 1 \text{ или } a + t - i + 1 > m, \\ g_{m_1}^J(X_1) \vee g_{m_2}^J(X_2) & \text{при } i > 1 \text{ и } a + t - i + 1 \leq m, \end{cases}$$

$$(41) \Delta D_i^2 = \begin{cases} 0 & \text{при } a + t \leq 2\mathbf{v}, \\ g_{m_1}^{\mathbf{v}}(X_1) g_{m_2}^{\mathbf{v}}(X_2) & \text{при } a + t > 2\mathbf{v}, \end{cases}$$

причем $D_{t+1} = 0$. В этом случае система уравнений (36) имеет минимальную сложность реализации. При $r=2$ сложность схем, синтезированных на основе представлений (32) и (36), одинакова, однако последнее из них приводит к схемам меньшей глубины. При $r>2$ представление (36) обеспечивает получение более экономичных схем.

Следствие 2. Логическая схема формирования остатка количества единиц двоичного кода по модулю K в унитарном параллельном непозиционном коде, синтезированная методом вторичной факторизации ($r = t = 2$) содержит:

$$(42) L(G(n)) = L(G(m_1)) + L(G(m_2)) + \Delta L_2,$$

элементов И, ИЛИ, НЕ, где $m_1, m_2 > K-1$ или $m_1 = \lfloor n/2 \rfloor$,

$$(43) \Delta L_2 = \begin{cases} \left[\frac{(n^2 + 4)}{8} \right] + 3n/2 - 2 & \text{при } n = 2 \lfloor n/2 \rfloor \text{ и } n < K, \\ \left[\frac{(n^2 + 1)}{8} + 7n/4 \right] - 2 & \text{при } n = 2 \lfloor n/2 \rfloor \text{ и } n < K, \\ \left[\frac{(n^2 + 4)}{8} \right] + 5n/2 - 2 & \text{при } n = 2 \lfloor n/2 \rfloor \text{ и } K \leq n \leq 2K - 2, \\ \left[\frac{(n^2 + 1)}{8} + 7n/4 \right] + n - 2 & \text{при } n = 2 \lfloor n/2 \rfloor \text{ и } K \leq n \leq 2K - 2, \\ \left[\frac{((K-1)^2 + 1)}{2} \right] + 5(K-1) - 2 & \text{при } n > 2K - 2. \end{cases}$$

Использование вторичной факторизации с параметром $\tau > 2$ позволяет в ряде случаев при $K \geq 7$ уменьшить сложность схемы по сравнению с определяемой оценкой (42).

Следует отметить, что при $r > 2$ получение представлений вида (36) возможно только путем перебора различных вариантов и проверки правильности реализации функций $\Phi_n^a(X)$.

На рис. 1 приведены графики зависимости сложности схем, синтезированных методом первичной факторизации (график 2) и вторичной факторизации при $r = t = 2$ (график 3). На рис. 4 приведена схема устройства подсчета количества единиц 24-разрядного двоичного кода, синтезированная методом вторичной факторизации ($r=3, \tau=2,3$) с использованием представления (36).

3.3. Однородные и регулярные структуры

В [15] исследованы однородные и регулярные структуры для реализации пороговых равновесных функций и, в частности, симметричные древовидные структуры, в которых реализация функций $F_n^a(X)$ осуществляется блоком, представляющим собой сумматор двух унитарных параллельных непозиционных кодов, по функциям разложения $F_{m_1}^{a_1}(X_1)$ и $F_{m_2}^{a_2}(X_2)$. Данный подход применим и для синтеза схем модульного контроля, которые могут быть выполнены в виде древовидной структуры, каждый из узлов которой при $n > K-1$ содержит сумматор двух унитарных параллельных непозиционных кодов и блок свертки результата суммирования по модулю K в соответствии с (6) или (13).

Блок суммирования может быть выполнен одним из трех способов. В первом случае сумматор двух унитарных параллельных непозиционных кодов, формирующий систему функций $g_n^a(X)$, где $\{a\} = \{1, 2, \dots, m\}$, содержит $(m^2 + 2m)/8$ ячеек И/ИЛИ ($m = \min\{2K-2, 2\}n/2\{\}$), соединенных пирамидально, причем

$$(44) \quad x_1(i, j) = \begin{cases} g_{m_1}^i(X_1) & \text{при } j=1; \quad i=1, \dots, m/2, \\ z(i, j-1) & \text{при } j=2, \dots, m/2; \quad i=1, \dots, m/2-j+1, \end{cases}$$

$$(45) \quad x_2(i, j) = \begin{cases} g_{m_2}^i(X_2) & \text{при } j=1; \quad i=1, \dots, m/2, \\ y(i+1, j-1) & \text{при } j=2, \dots, m/2; \quad i=1, \dots, m/2-j+1, \end{cases}$$

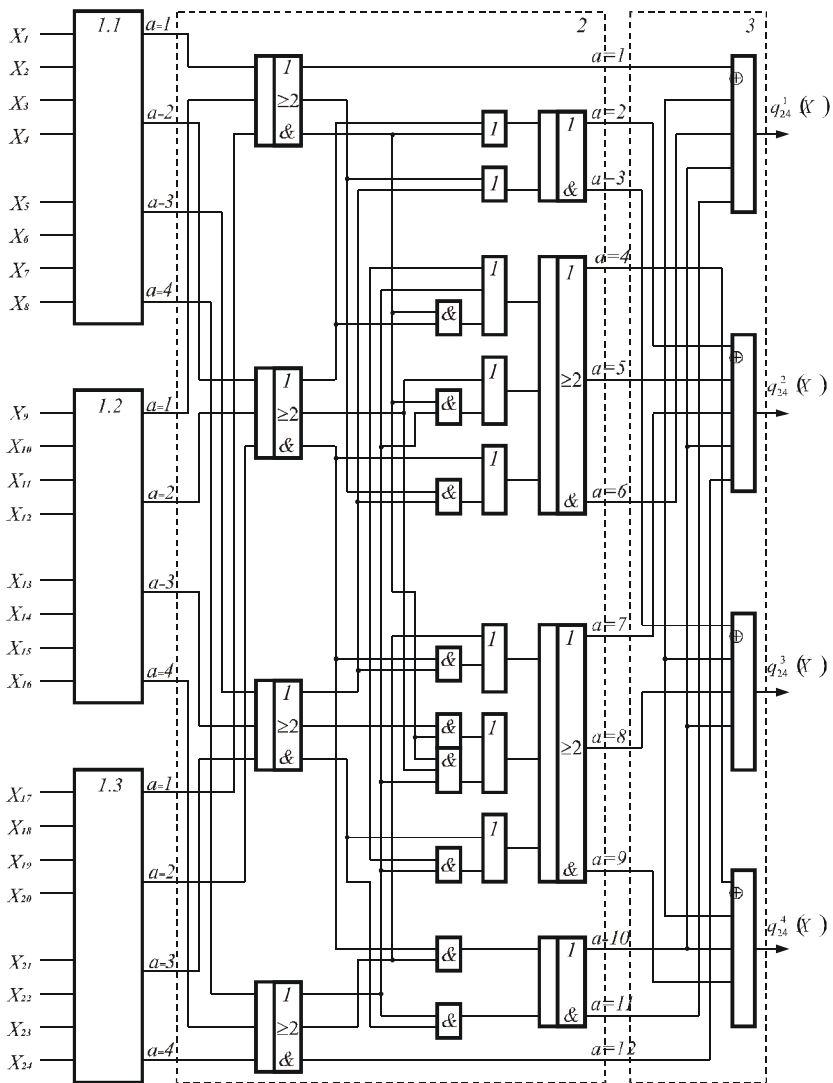


Рис.4. Схема подсчета количества единиц 24-разрядного двоичного кода по модулю $K=5$ в унитарном непозиционном коде, синтезированная методом вторичной факторизации ($r=3, \tau=2,3$)

где $x_1(i,j)$ и $x_2(i,j)$ сигналы на входах i -й ячейки j -го столбца, а $z(i,j)$ и $y(i,j)$ - сигналы на ее выходах ИЛИ и И соответственно, причем функции $\Phi_n^a(X)$ реализуются на следующих выходах блока

$$(46) \quad \Phi_n^a(X) = \begin{cases} y(1,a) & \text{при } a = 1, 2, \dots, \lfloor m/2 \rfloor, \\ z(a - \lfloor m/2 \rfloor, m - a + 1) & \text{при } a = \lfloor m/2 \rfloor + 1, \dots, m. \end{cases}$$

Синтезируемая таким способом схема устройства подсчета количества единиц параллельного двоичного кода по модулю $K=5$ приведена на рис. 5.

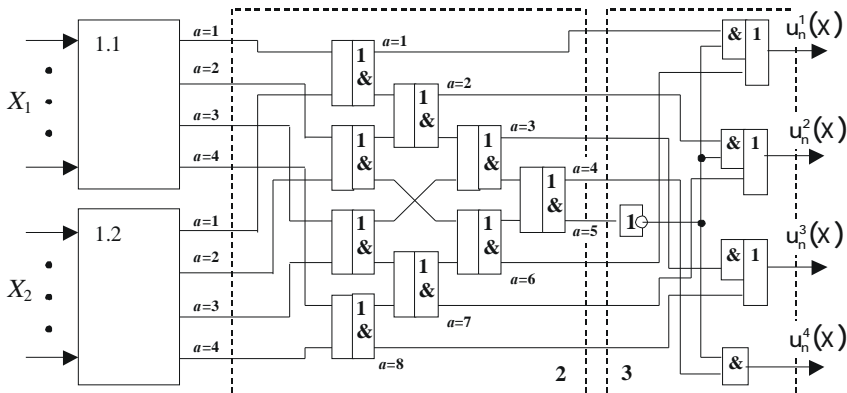


Рис. 5. Устройство подсчета количества единиц двоичного n -разрядного кода по модулю $K=5$, выполненное в виде композиции однородных структур, синтезированных методом симметричной факторизации

Сумматор унитарных параллельных непозиционных кодов для нечетного $n < 2K - 2$ получается из сумматора на $(n+1)$ вход путем исключения последней $(n+1)/2$ -й ячейки первого столбца.

Сложность синтезированной таким способом схемы определяется следующей оценкой, получаемой из (28) с учетом сложности блока суммирования.

Следствие 3. Логическая схема формирования остатка количества единиц двоичного кода по модулю K в унитарном параллельном непозиционном коде, выполненная в виде композиции пирамидальных структур из однотипных ячеек И/ИЛИ содержит:

$$(47) \quad L(G(n)) = L(G(m_1)) + L(G(m_2)) + \Delta L_3$$

элементов И, ИЛИ, НЕ, где где $m_1, m_2 > K-1$ или $m_1 = \lfloor n/2 \rfloor$,

$$(48) \Delta L_3 = \begin{cases} \left\lfloor \frac{(n^2 + 2n)}{4} \right\rfloor & \text{при } n = 2 \lfloor n/2 \rfloor \text{ и } n < K, \\ \left\lfloor \frac{(n^2 + 4n - 5)}{4} \right\rfloor & \text{при } n \neq 2 \lfloor n/2 \rfloor \text{ и } n < K, \\ \left\lfloor \frac{(n^2 + 2n)}{4} \right\rfloor + n & \text{при } n = 2 \lfloor n/2 \rfloor \text{ и } K \leq n \leq 2K - 2, \\ \left\lfloor \frac{(n^2 + 4n - 5)}{4} \right\rfloor + n & \text{при } n \neq 2 \lfloor n/2 \rfloor \text{ и } K \leq n \leq 2K - 2, \\ (K-1)^2 + 3(K-1) & \text{при } n > 2k - 2.. \end{cases}$$

Из полученной оценки видно, что сложность схем, выполненных в виде композиции пирамидальных структур из однотипных ячеек И/ИЛИ, равна сложности схем, синтезированных методом первичной факторизации.

Более быстродействующие и экономичные однородные симметричные структуры сумматоров унитарных параллельных непозиционных кодов могут быть синтезированы с использованием метода симметричной факторизации систем пороговых равновесных функций, предложенного в [15]. Получаемые при его использовании схемы также представляют собой пирамидальную структуру из однотипных ячеек И/ИЛИ, однако число ячеек уменьшено за счет реконфигурации связей внутри пирамидальной структуры. Получение аналитических оценок сложности и быстродействия для схем, синтезированных методом симметричной факторизации не представляется возможным. Для фундаментальных симметричных многополюсников, реализующих систему всех пороговых равновесных функций n переменных, при $n \leq 32$ соответствующие оценки получены [15] путем экспериментального проектирования и последующего анализа разработанных технических решений. Они позволяют получить оценки сложности устройств модульного контроля при $K \leq 16$. Как показали результаты оптимизации схем, синтезируемых методом симметричной факторизации, выполненной путем перебора на ЦВМ всех возможных значений m_i для $K=5,7$, их минимальная сложность равна сложности схем, синтезируемых методом вторичной факторизации, определяемой оценкой (42).

Синтезируемая с использованием метода симметричной факторизации схема устройства подсчета количества единиц параллельного двоичного кода по модулю $K=5$ приведена на рис. 5. Дальнейшее повышение быстродействия и уменьшение сложности схем модульного контроля, выполняемых в виде композиции

пирамидальных структур может быть достигнуто [15] при использовании сумматора унитарных параллельных непозиционных кодов, реализуемого в виде композиции двух блоков суммирования унитарных параллельных непозиционных кодов на m_1 и $m_2 = n - m_1$ входов и группы ячеек И/ИЛИ, формирующих выходные сигналы. Входы первого и второго блоков суммирования соединяются с входами первого $A_1 = \{a_1^1, a_2^1, \dots, a_{\lfloor m_1/2 \rfloor}^1\}$ и второго $A_2 = \{a_1^2, a_2^2, \dots, a_{\lfloor m_2/2 \rfloor}^2\}$ слагаемых сумматора унитарных параллельных непозиционных кодов в следующем порядке

$$(49) \quad b_i^1 = a_{2i-1}^1 \text{ при } i = 1, \dots, \lfloor m_1/2 \rfloor,$$

$$(50) \quad b_i^2 = a_{2i-1}^2 \text{ при } i = 1, \dots, \lfloor m_1/2 \rfloor,$$

$$(51) \quad d_i^1 = a_{2i}^1 \text{ при } i = 1, \dots, \lfloor m_2/2 \rfloor,$$

$$(52) \quad d_i^2 = a_{2i}^2 \text{ при } i = 1, \dots, \lfloor m_2/2 \rfloor,$$

где $a_i^1 = g_{n_1}^i(X_1)$, $a_i^2 = g_{n_2}^i(X_2)$,

$B_1 = \{b_1^1, b_2^1, \dots, b_{\lfloor m_1/2 \rfloor}^1\}$ и $B_2 = \{b_1^2, b_2^2, \dots, b_{\lfloor m_1/2 \rfloor}^2\}$ - входы первого и второго слагаемых первого блока суммирования;

$D_1 = \{d_1^1, d_2^1, \dots, d_{\lfloor m_2/2 \rfloor}^1\}$ и $D_2 = \{d_1^2, d_2^2, \dots, d_{\lfloor m_2/2 \rfloor}^2\}$ входы первого и второго слагаемых второго блока суммирования.

Порядок соединения выходов блоков суммирования со входами выходных ячеек И/ИЛИ $D_1 = \{d_1^1, d_2^1, \dots, d_{\lfloor m_2/2 \rfloor}^1\}$ определяется

следующими соотношениями

$$(53) \quad x_1(i) = p_{i+1},$$

$$(54) \quad x_2(i) = q_i,$$

где $i=1, 2, \dots, m/2-1$, $x_1(i)$ и $x_2(i)$ - первый и второй входы i -й ячейки И/ИЛИ, а p_j и q_j - j -е выходы первого и второго блоков суммирования.

На выходах ячеек И/ИЛИ реализуется система функций $\Phi_n^i(X)$, причем

$$(55) \quad \Phi_n^i(X) = \begin{cases} p_1 & \text{при } i = 1, \\ y_{[i/2]} & \text{при } i = 2, 4, \dots, m-2, \\ z_{[i/2]} & \text{при } i = 3, 5, \dots, m-1, \\ q_{m/2} & \text{при } i = m, \end{cases}$$

где y_i и z_i - выходы i -й ячейки И/ИЛИ.

Каждый из блоков суммирования унитарных параллельных непозиционных кодов, вплоть до блоков на два входа, представляющих собой ячейку И/ИЛИ, выполняется аналогичным образом.

Сложность таких схем определяется соотношением

$$(56) \quad L(G(n)) = L(G(m_1)) + L(G(m_2)) + l(s(m)),$$

где $m = m_1 + m_2$, $m_i = \min\{m_i, K-1\}$

$$(57) \quad l(s(m)) = l(s(m_1)) + l(s(m_2)) + 2[(m-2)/2],$$

$l(s(m_i))$ - сложность сумматора унитарных параллельных непозиционных кодов на m_i входов.

Последняя из рассмотренных однородных древовидных симметричных структур обладает наибольшим быстродействием и наименьшей сложностью, однако, регулярность связей между ячейками практически отсутствует.

4. Методы синтеза логических схем формирования остатка двоичного кода по модулю K в унитарном параллельном непозиционном коде

Из введенного выше понятия унитарного параллельного непозиционного кода $U(X)$ остатка по модулю K двоичного кода $X = \{x_1, x_2, \dots, x_n\}$ следует, что он обладает свойствами, аналогичными свойствам кода $G(X)$.

С учетом этого легко доказывается справедливость (по аналогии с приведенными в разделе 3.1 доказательствами) следующего представления

$$u_n^a(X) = \bigvee_{j=0}^r \left(\left\{ \bigvee_{[A^j]} u_{m_1}^{a_1}(X_1) u_{m_2}^{a_2}(X_2) \dots u_{m_r}^{a_r}(X_r) \right\} \& \overline{\left\{ \bigvee_{[B^j]} u_{m_1}^{b_1}(X_1) u_{m_2}^{b_2}(X_2) \dots u_{m_r}^{b_r}(X_r) \right\}} \right) =$$

$$(58) \quad \bigvee_{j=0}^r \Phi_n^{a+jK}(X) \& \overline{\Phi_n^{(j+1)K}(X)} = \bigoplus_{j=0}^r \left(\Phi_n^{a+jK}(X) \oplus \overline{\Phi_n^{(j+1)K}(X)} \right),$$

являющегося результатом декомпозиции с параметром r . Т.е. рассмотренный выше метод декомпозиции может быть использован для синтеза схем формирования остатка параллельного двоичного кода по модулю K без существенных изменений.

Используя свойства функций $u_n^a(X)$ из (58) получаем представления, являющиеся результатом первичной и вторичной факторизации, полностью аналогичные (26) или (32) и (36). Для синтеза схем формирования остатка двоичного кода по модулю K могут также быть использованы однородные и регулярные структуры, описанные выше.

Рассмотренные методы синтеза могут использоваться при произвольном порядке декомпозиции. Под порядком декомпозиции понимается порядок выбора значений параметра разложения r и мощности подмножеств X_1, X_2, \dots, X_n на каждом шаге декомпозиции. Однако, в данном случае сложность синтезируемой схемы зависит не только от выбора мощности подмножеств, но и от значений весов w_j переменных $x_j \in X_i$. Оптимальным является порядок декомпозиции, при котором минимизируется мощность множества функций разложения $u_{m_i}^a(X_i)$ на всех шагах декомпозиции. Очевидно, что это

достигается, когда в процессе декомпозиции при мощности подмножеств $s(X_i) < K$ для всех $x_j \in X_i$ имеем $(w_j) \bmod K = \text{const}$. В этом случае сложность схемы формирования остатка параллельного двоичного кода по модулю K , синтезируемой методами декомпозиции и факторизации, а также выполняемых в виде композиции однородных структур, незначительно отличается от определяемой оценками (15), (29), (42), (47), (56).

В целом процесс синтеза схемы формирования остатка двоичного кода по модулю K отличается от процесса синтеза схемы подсчета количества единиц по модулю K только на этапе, когда перестают совпадать мощности множеств значений индексов функций

разложения, т.е. на конечных циклах процесса синтеза. Различия в процессе синтеза и сложности синтезируемых схем можно минимизировать, если в случае, когда для всех $x_j \in X_i$ имеем $(w_j) \bmod K = \text{const}$, формировать систему функций $u_{m_i}^{a_i}(X_i)$ на основе

системы функций $g_{m_i}^{a_i}(X_i)$ в соответствии с представлением

$$(59) \quad u_{m_i}^{a_i}(X_i) = \bigvee_{j=a_i}^{K-1} g_{m_i}^j(X_i) = g_{m_i}^{a_i}(X_i) \vee u_{m_i}^{a_i+1}(X_i),$$

где

$$(60) \quad g_{m_i}^j(X_i) = \begin{cases} g_{m_i}^b(X_i) & \text{при } j = (bw) \bmod K \text{ и } [bw/K] \geq [w(K-1)/K], \\ g_{m_i}^b(X_i) \overline{g_{m_i}^d(X_i)} & \text{при } j = (bw) \bmod K \text{ и } [bw/K] < [w(K-1)/K], \end{cases}$$

или

$$(61) \quad g_{m_i}^j(X_i) = \bigvee_{\{B_j\}} \Phi_{m_i}^b(X_i) \overline{\Phi_{m_i}^d(X_i)},$$

$\{B_j\}$ - множество индексов функций разложения $\Phi_{m_i}^b(X_i)$,

удовлетворяющих условию $j = (bw) \bmod K$, а $d = ([bw/K] + 1)K/w$.

Поскольку сложность схем, синтезируемых рассмотренным методом, зависит от порядка декомпозиции, получить оценку сложности в общем виде не представляется возможным. Однако в том случае, когда выполняется указанное выше условие, сложность схемы составляет

$$(62) \quad L(U(n)) = L(G(n)) + \Delta L$$

где ΔL - количество логических элементов, необходимых для реализации преобразования (59) или (61), которое может быть оценено следующим образом

$$(63) \quad \Delta L \approx \begin{cases} 3 & \text{при } K = 3, \\ 23 & \text{при } K = 5, \\ 22 & \text{при } K = 7. \end{cases}$$

5. Быстродействие логических схем модульного контроля в унитарных параллельных позиционных кодах

Важным параметром логических схем, кроме их сложности является также быстродействие. Как правило, его определяют глубиной схемы, т.е. максимальным числом последовательно

соединенных логических элементов от входа схемы к ее выходу. Используем данный критерий для оценки быстродействия логических схем модульного контроля, синтезируемых рассмотренными выше методами.

Схемы максимальной глубины получаются в частном случае декомпозиции, представляющем собой разложение по переменным. Их глубина зависит от числа переменных n и параметра разложения r и для классического базиса И, ИЛИ, НЕ определяется следующей оценкой

$$(64) \quad H(G(n)) = \begin{cases} 3n - K - 2 & \text{при } r = 2, \\ H(F(n - t(r - 1))) + \Delta h t - \Delta H & \text{при } r > 2, \end{cases}$$

где $\Delta h = 5$, $t = \lfloor (n - K + 1) / (r - 1) \rfloor$, а

$$\Delta H = \begin{cases} 2 & \text{при } n - t(r - 1) = K - r + 1, \\ 0 & \text{при } n - t(r - 1) \neq K - r + 1, \end{cases}$$

$$H(F(n)) = \begin{cases} 2(n - 1) - 1 & \text{при } r = 2, \\ 2k & \text{при } n = (r - 1)k + 1 \text{ и } r > 2, \\ 2k + 1 & \text{при } n = (r - 1)k + 2 \text{ и } r > 2, \\ 2k + 2 & \text{при } (r - 1)k + r - 1 \geq n > (r - 1)k + 2 \text{ и } r > 3. \end{cases}$$

Схемы минимальной глубины получаются при регулярной детерминированной декомпозиции. Из уравнения (6) следует, что каждый шаг декомпозиции увеличивает глубину схемы на Δh_1 элементов, при этом глубина синтезируемых схем определяется следующим рекуррентным соотношением

$$(65) \quad H(G(n)) = H(G(\lfloor n / r \rfloor)) + \Delta h_1 < \Delta h_1 \log_r n, \text{ где } n > K.$$

В классическом базисе $\Delta h_1 = 5$, так как для реализации функции $g_n^a(X)$ или $u_n^a(X)$ по их функциям разложения $g_{m_i}^{a_i}(X_i)$ и $u_{m_i}^{a_i}(X_i)$ требуется структура типа И-ИЛИ, имеющая глубину 2, и схема свертки сформированных функций $\Phi_{m_i}^{a_i}(X_i)$ и $\mathcal{F}_{m_i}^{a_i}(X_i)$ по модулю K , также имеющая глубину 3. При использовании базиса, включающего операцию суммирования по модулю два $\Delta h_1 = 3$. При синтезе методом первичной факторизации на основе представлений (26) глубина схем возрастает, по сравнению с синтезированными методом декомпозиции. Это обусловлено

необходимостью реализации системы пороговых равновесных функций $F_r^{a_i}(Y_i)$. Глубина синтезируемой схемы при $r=2$, 3 определяется следующим рекуррентным соотношением

$$(66) \quad H(G(n)) = H(G(\lfloor n/r \rfloor)) + r + \Delta h_1 - 1 < (r + \Delta h_1 - 1) \log_2 n .$$

Использование вторичной факторизации на основе представления (36) ($r=t=2$) приводит к схемам глубины

$$(67) \quad H(G(n)) = H(G(\lfloor n/2 \rfloor)) + \Delta h_1 + 2 < 7 \log_2 n .$$

Реализация в виде композиции пирамидальных структур приводит к схемам глубины

$$(68) \quad H(G(n)) = H(G(\lfloor n/2 \rfloor)) + K + 2 , \text{ где } n \geq 2K-2 .$$

В случае симметричной факторизации

$$(69) \quad H(G(n)) = H(G(\lfloor n/2 \rfloor)) + K + 2 - \Delta H ,$$

где $n \geq 2K-2$, а $\Delta H \approx (K-5)/4$.

Глубина схем формирования остатка двоичного кода по модулю K в унитарном параллельном непозиционном коде, синтезированных рассмотренными методами при $n \geq 2K-2$ определяется оценками (59)-(62). При $n < 2K-2$ их глубина, в зависимости от порядка декомпозиции, может превышать определяемую указанными оценками на величину $\Delta h_2 \leq 3$.

Приведенные оценки показывают, что схемы модульного контроля в унитарных параллельных непозиционных кодах имеют на 20-25% меньшую сложность, но в 1,5- 2 раза большую глубину, чем схемы модульного контроля в унитарных параллельных позиционных кодах [6]. Увеличение параметра разложения r приводит к уменьшению глубины схем, однако, при этом быстро возрастает их сложность.

6. Заключение

В статье исследованы вопросы синтеза логических схем модульного контроля в унитарных параллельных непозиционных кодах, предложены декомпозиционный метод синтеза и методы факторизации. Получены оценки сложности и быстродействия синтезируемых рассмотренными методами схем. Они показывают, что синтезируемые схемы имеют меньшую сложность и меньшее

быстродействие, по сравнению со схемами модульного контроля в унитарных параллельных позиционных кодах. Характеристики синтезируемых схем существенно зависят от выбора значения параметра разложения r . Его увеличение приводит к повышению быстродействия синтезируемой схемы, но увеличивает ее сложность.

Полученные оценки сложности и быстродействия логических схем модульного контроля в унитарных параллельных непозиционных кодах показывают, что их использование целесообразно при высоких требованиях к быстродействию схемы и, в основном, при малых значениях модуля K . Приведенные в данной статье результаты формируют достаточно полный теоретический подход к проблеме синтеза логических схем модульного контроля в унитарных параллельных непозиционных кодах, позволяют определить области их возможного использования, а также точно оценить на ранних стадиях проектирования параметры синтезируемых схем и решить вопрос о целесообразности их использования.

ЛИТЕРАТУРА

1. Журавлев Ю.П., Кателюк Л.А., Циклинский Н.И. Надежность и контроль ЭВМ. М.: Радио и связь, 1978.
2. Долгов А.И. Диагностика устройств, функционирующих в системе остаточных классов. М.: Сов. Радио, 1982.
3. Селлерс Ф. Методы обнаружения ошибок в работе ЭЦВМ. М.: Мир, 1972.
4. Дадаев Ю.Г. Теория арифметических кодов. М.: Радио и связь, 1981.
5. Касами Т., Токура Н., Ивадари Ё., Инагаки Я. Теория кодирования. М.: Мир, 1978.
6. Музыченко О.Н. Синтез логических схем модульного контроля в унитарных позиционных двоичных кодах. // Автоматика и телемеханика. 2001. № 3. С. 158 - 173.
7. Фридман А., Менон П. Теория и проектирование переключательных схем. М.: Мир, 1978.
8. Поляков В.Е., Проскурин Г.М., Федотов В.П., Шарнин Ю.К. Преобразование симметричных булевых функций.// Материалы семинара по кибернетике. Кишнев, 1972. Вып. 47. С. 16-30.

9. *Дертоузос М.* Пороговая логика. М.: Мир, 1967.
10. *Вавилов Е.Н., Егоров Б.М., Ланцев В.С., Тоценко В.Г.* Синтез схем на пороговых элементах. М.: Сов. Радио, 1970.
11. *Музыченко О.Н., Лукоянов В.П.* Быстродействующий алгоритм синтеза схем симметричных функций алгебры логики для систем автоматизированного проектирования. // Вопросы радиоэлектроники. Сер. Общие вопросы радиоэлектроники. 1984. Вып.12. С. 120-128.
12. *Музыченко О.Н.* Факторизационный метод синтеза пороговых схем. // Автоматика и телемеханика. 1986. № 8. С. 166-170.
13. *Музыченко О.Н.* Факторизация систем пороговых равновесных функций. // Кибернетика. 1989. № 4. С. 124-127.
14. *Музыченко О.Н.* Устройство для контроля параллельного двоичного кода по модулю К. А.с. 1361557 СССР// Б. И. 1987. № 47.
15. *Музыченко О.Н.* Однородные и регулярные структуры для реализации симметричных функций алгебры логики// Автоматика и телемеханика. 1998. № 4. С. 152-164.
16. *Пихтова Л.Д.* К факторизационному методу синтеза комбинационных схем.// Вычислительная техника в машиностроении. Минск: Ин-т техн. кибернетики АН БССР. 1973. С. 122-128.
17. *Маркаускас Р.К.* Алгоритм факторизации булевых функций. В кн.: Вычислительная техника. Каунас: Каунасский политехн. ин-т, 1972, с. 122-128.
18. *Музыченко О.Н.* Устройство для контроля параллельного двоичного кода по модулю К. А.с. 1425676 СССР// Б. И. 1988. № 35.